

มหาวิทยาลัยบูรพา
Burapha University

ภาควิชานวัตกรรม

นักศึกษาอัจฉริยะบูรพา

Burapha University

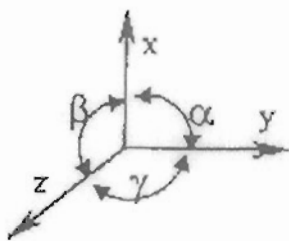
ภาคผนวก ก

การคำนวณหาค่าคงที่แลตทิซ (Lattice Constants) และขนาด��粒 (Crystallite Size)

การคำนวณหาค่าคงที่แล็ตทิช (Lattice Constants)

โครงสร้างผลึก (Crystal Structure)

ในการศึกษาโครงสร้างผลึกที่เข้าใจง่ายขึ้นเราจะกำหนดแกนสมมุติและมุมขึ้นภายในรูปผลึกซึ่งมีอัตราส่วนอยู่ต่ำตามเหลี่ยมนูนต่าง ๆ ในทิศทาง 3 มิติ (ภาพที่ ก-1 ประกอบ) โดยให้



a, b, c เป็นระยะห่างระหว่างอะตอม เรียกว่า สเปซแล็ตทิช (Space lattice)
มีหน่วยเป็นแองสตอม (A) โดยที่ 1 Angstrom = 10^{-10} m.
x, y, z เป็นแกนสมมุติอ้างอิง โดยมีจุดกำเนิด O (Origin) อยู่ตรงตัวแทน
อะตอมหนึ่ง ๆ ของหน่วยเซลล์หนึ่ง เรียกว่า แล็ตทิชเวกเตอร์ (Lattice vector)
 α, β, γ เป็นมุมที่เกิดขึ้นภายในผลึกอยู่ระหว่างแกน x, y, z

ภาพที่ ก-1 แกนสมมุติและมุมขึ้นภายในรูปผลึก

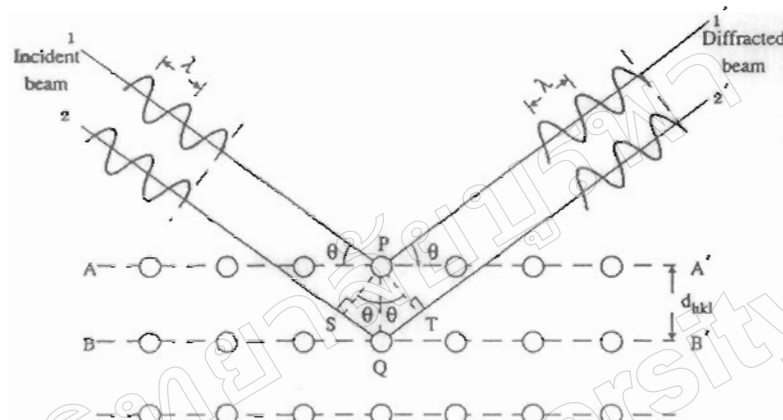
สเปซแล็ตทิช (Space Lattice) มีอยู่ทั้งหมด 230 แบบ ด้วยกัน แต่จะสรุปลงเหลือเพียง 14 แบบ ใหญ่ ๆ ด้วยกันและมีรูปแบบที่สอดคล้องกับ โครงสร้างระบบผลึก (Crystal structure) ได้ 7 ระบบ ด้วยกันคือ

1. ไตรклиนิก (Triclinic) แกนทั้ง 3 แกนยาวไม่เท่ากัน แกนทั้ง 3 แกนทำมุมไม่เท่ากัน และไม่ตั้งฉากกัน
2. โมโนคลินิก (Monoclinic) แกนทั้ง 3 แกนยาวไม่เท่ากัน มีแกน 2 แกนที่จะทำมุมตั้งฉากกัน แต่แกนที่ 3 ไม่ตั้งฉาก
3. ออร์โทรอห์ม尼ค (Orthorhombic) หรือ โอลห์มนิก (Rhombic) แกนทั้ง 3 แกน ยาวไม่เท่ากัน แต่ทุกแกนจะทำมุมตั้งฉากกันและกัน
4. เตตራゴนอล (Tetragonal) มีแกน 2 แกนยาวเท่ากันแต่อีกแกนหนึ่งจะสั้น หรือ บางกว่า แกนทั้ง 3 แกน ทำมุมตั้งฉากกันและกัน
5. โอลห์บอธิรอด (Rhombohedral) แกนทั้ง 3 แกนยาวเท่ากัน แกนทั้ง 3 แกน ทำมุมเท่ากัน แต่ทั้ง 3 มุมไม่เป็น 90 องศา
6. เอกซ์-โภนอล (Hexagonal) มีแกน 3 แกนอยู่ในแนวระนาบ (Plane) ทำมุมภายในเท่ากัน 120 องศา ต่อกัน แกนที่ 4 ทำมุม 90 องศา กับแนวระนาบ (Plane) แกน 3 แกนแรกจะเท่ากัน แต่จะไม่เท่ากับแกนที่ 4
7. สี่เหลี่ยมจัตุรัส (Cubic) แกนทั้ง 3 แกนยาวเท่ากันและตั้งฉากซึ่งกันและกัน

ระบบผลึก	ແລຕທີ່				
ໄຕຮຄລິນິກ (triclinic)	$\alpha, \beta, \gamma \neq 90^\circ$ 				
ໄມໂນຄລິນິກ (monoclinic)	simple $\beta \geq 90^\circ$ $\alpha, \gamma = 90^\circ$ 	centered $\beta \geq 90^\circ$ $\alpha, \gamma = 90^\circ$ 			
	simple $a \neq b \neq c$ 	base-centered $a \neq b \neq c$ 	body-centered $a \neq b \neq c$ 	face-centered $a \neq b \neq c$ 	
ອອຣໂຫຣອນນິກ (orthorhombic)	$a \neq c$ 				
ຮອມໂນອົກຈັດ (rhombohedral) (trigonal)	$\alpha, \beta, \gamma \neq 90^\circ$ 				
ເຕຕະໂກນອດ (tetragonal)	simple $a \neq c$ 	body-centered $a \neq c$ 			
ຄົວນິກ (isometric)	simple 	body-centered 	face-centered 		

โดยปกติแล้ว ไหเทเนียมอะลูมิเนียม ในไครด์บิสุทธิ์ มีโครงสร้างผลึกแบบคิวบิก ในงานวิจัยนี้พบว่าฟิล์มบาง ไหเทเนียมอะลูมิเนียม ในไครด์ที่เคลือบด้วยระบบบริเอกตีฟ โคสปีต เทอริง มีโครงสร้างผลึกแบบเฟช เช่นเดอร์ คิวบิก

กฎของแบรกค์ (Bragg's law)



ภาพที่ ก-2 แบบจำลองการเรียงตัวของอะตอม

$$2d_{hkl} \sin \theta = n\lambda \quad (ก-1)$$

เมื่อ d_{hkl} เป็นระยะห่างระหว่างระนาบผลึก ($h k l$)

θ เป็นมุมตugalะและมุมสะท้อน เมื่อวัดจากแนวระนาบ (ในหน่วย radians)

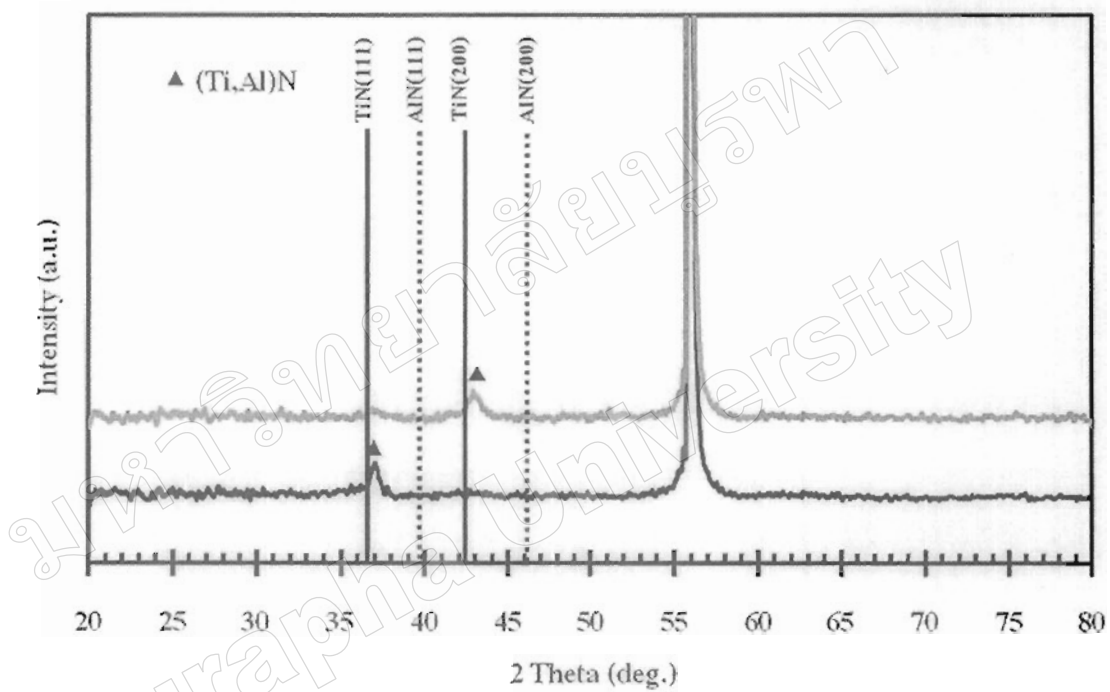
n ลำดับการสะท้อน

λ ความยาวคลื่น ($\lambda = 1.5406 \text{ \AA}$)

สูตรคำนวณระยะห่างระหว่างระนาบในระบบผลึกแบบคิวบิก

$$\text{cubic; } d_{hkl} = \frac{a}{\sqrt{h^2 + k^2 + l^2}} \quad (\text{ก-2})$$

ตัวอย่าง ก-1 การคำนวณหาระยะห่างระหว่างระนาบผลึก (d -spacing) ที่ระบุดัง ๆ



ภาพที่ ก-3 รูปแบบการเลี้ยวเบนรังสีเอกซ์ของฟิล์มบางไทเทเนียมอะลูมิเนียมในไครค์

ตารางที่ ก-1 รูปแบบการเลี้ยวเบนรังสีเอกซ์ของฟิล์มบางไทเทเนียมอะลูมิเนียมในไครค์

No.	2 Theta	Intensity	$h \ k \ l$	d -spacing
1	37.01	20	1 1 1	2.43
2	42.92	16	2 0 0	2.10

1. หาระยะห่างระหว่างรั้นนาบผลึกที่รั้นนาบต่าง ๆ

กำหนด $\lambda = 1.5406 \text{ \AA}$; มุม θ หน่วยเป็น เเรเดียน

แทนค่ามุม θ ในหน่วยเรเดียนในสมการที่ ก-1 จะได้ d -spacing ที่รั้นนาบต่าง ๆ ดังนี้

$$2d_{hkl} \sin \theta = n\lambda \quad (\text{ก-1})$$

ที่รั้นนาบ (111);

$$d_{hkl} = 2.43 \text{ \AA}$$

2. หาค่าคงที่ (Latice Constant)

cubic;

$$d_{hkl} = \frac{a}{\sqrt{h^2 + k^2 + l^2}} \quad (\text{ก-2})$$

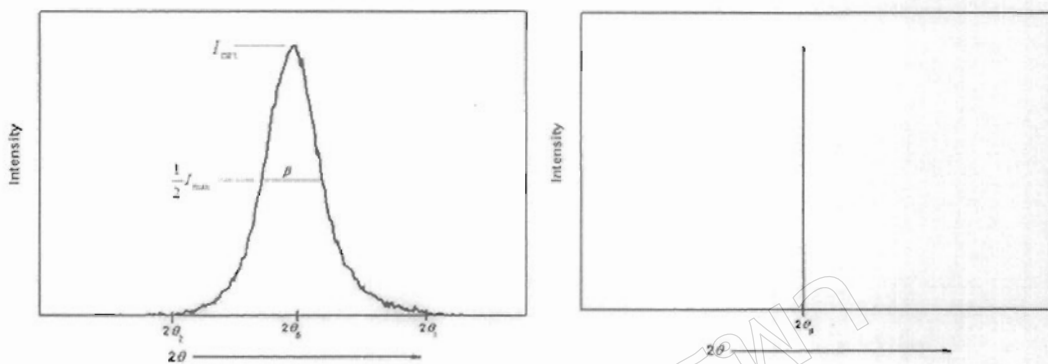
ที่รั้นนาบ (111);

$$2.43 = \frac{a}{\sqrt{l^2 + l^2 + l^2}}$$

$$a = 2.43(\sqrt{3})$$

$$a = 4.20 \text{ \AA}$$

การคำนวณขนาดผลึก (Crystallite size)



ภาพที่ ๔ Effect of crystallite size on diffraction curves (schematic) (Cullity, 1978)

Scherrer Equation

$$L = \frac{k\lambda}{\beta \cos \theta_\beta} \quad (n-3)$$

เมื่อ L คือ ขนาดของผลึกฟิล์มบางไฟแทกเนียมเชอร์ โคลินเนย์ม ในไตรด์ หน่วย นาโนเมตร (nm)

k คือ ก่าคงที่เท่ากับ 0.9

λ คือ ความยาวคลื่นของรังสีเอกซ์ ($CuK\alpha = 1.5406 \text{ \AA}$)

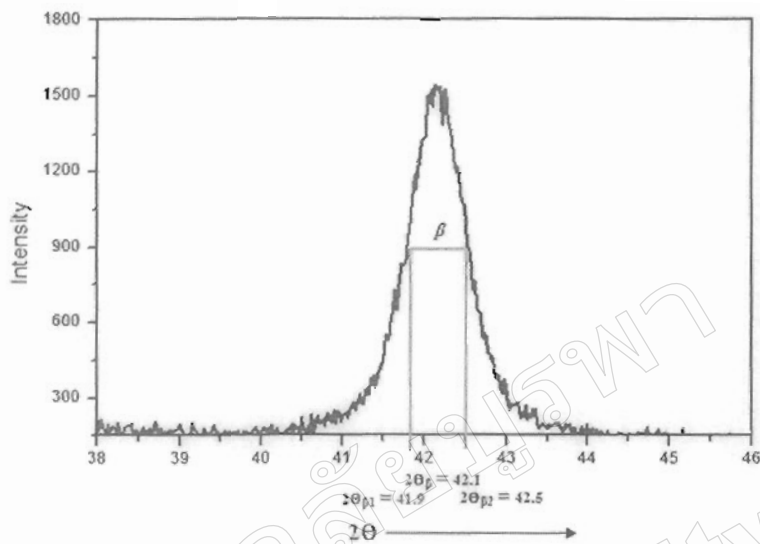
θ คือ ครึ่งหนึ่งของมุมครองจุดศูนย์กลางพีก หน่วย เ雷เดียน

β คือ ความกว้างครึ่งหนึ่งของพีกที่มีค่าความเข้มสูงสุด

(Full Width at Half Maximum; FWHM) ซึ่งคำนวณได้จากสมการ ๔-4

$$\beta = \frac{2\theta_{\beta_2} - 2\theta_{\beta_1}}{2} \quad (n-4)$$

ตัวอย่าง ก-2 การคำนวณขนาดผลลัพธ์



ภาพที่ ก-5 การหาความกว้างคริ่งหนึ่งของพีกที่มีค่าความเข้มสูงสุด

วิธีคำนวณ พาค่า β จากสมการ ก-4

$$\beta = \frac{2\theta_{\beta_2} - 2\theta_{\beta_1}}{2}$$

$$\beta = \frac{43.17 - 42.66}{2} = 0.0044 \text{ เรเดียน}$$

นำค่า β แทนในสมการ ก-3 จะได้

$$L = \frac{k\lambda}{\beta \cos \theta_\beta}; \cos \theta_\beta = 0.930 \text{ เรเดียน}$$

$$L = \frac{(0.9)(0.15406 \text{ nm})}{(0.0044)(0.930)} = 33.46 \text{ nm}$$

ดังนั้น ผลลัพธ์มีขนาดเท่ากับ 33.46 nm

ภาคผนวก ข

ผลงานวิจัยที่ได้รับการตีพิมพ์เผยแพร่



ที่ ศธ ๖๖๗๕.๑/๒๐๒๗

คณะวิทยาศาสตร์ มหาวิทยาลัยบูรพา
ต.แสนสุข อ.เมือง จ.ชลบุรี ๒๐๑๓๑

๒๐ กุมภาพันธ์ พ.ศ. ๒๕๖๗

เรื่อง ตอบรับการนำเสนอทบทวนวิชาการ

เรียน คุณพัชรี ภักดีเสน่หานา

ตามที่ท่านได้ส่งผลงานวิจัยในรูปแบบรายงานสืบเนื่องจากการประชุม (Full proceedings) เพื่อนำเสนอในงานประชุมวิชาการระดับชาติ “วิทยาศาสตร์วิจัย ครั้งที่ ๖” ในวันที่ ๒๐ – ๒๑ มีนาคม พ.ศ. ๒๕๖๗ ณ อาคารเฉลิมพระเกียรติอุปถัมภ์สิริราชสมบัติกรุง ๖๐ ปี มหาวิทยาลัยบูรพา อำเภอเมือง จังหวัดชลบุรี ในการนี้ ผู้ทรงคุณวุฒิได้ทำการพิจารณาบทความวิจัยในหัวข้อ “ผลของกำลังสปีดเทอริงต่อโครงสร้างของฟิล์มบาง ไห้เหนี่ยมอะลูมิเนียมในไหร์ทที่เคลือบด้วยวิธีรีเอกฟ์ฟีซีโคสปีดเทอริง” แล้ว และทางฝ่ายวิชาการของงานประชุมฯ มีความยินดีที่จะแจ้งให้ผู้ส่งบทความทราบว่า ผลงานวิจัยของท่านได้รับการ “ตอบรับ” เพื่อมานำเสนอผลงานในรูปแบบโปสเทอร์ ทั้งนี้ การตอบรับจะสมบูรณ์เมื่อท่านลงทะเบียนในระบบ <http://src6.sci.buu.ac.th/register/>

ผู้ที่นำเสนอผลงานวิจัยแบบบรรยายขอให้เตรียมเอกสารประกอบการบรรยายจากโปรแกรม Powerpoint 2007 โดยมีเวลาในการนำเสนอพร้อมตอบคำถามไม่น่าเกิน ๑๕ นาที ส่วนการนำเสนอแบบโปสเทอร์ ขอให้เตรียมโปสเทอร์ในขนาด ๘๐ x ๑๖๐ เซนติเมตร สำหรับกำหนดการและลำดับการนำเสนอผลงานจะประกาศที่ <http://src6.sci.buu.ac.th/> ต่อไป

ขอขอบคุณที่ส่งผลงานเข้าร่วมนำเสนอในงานประชุมฯ และหวังเป็นอย่างยิ่งที่จะได้เห็นงานวิจัยของท่านในงานประชุมฯ

ขอแสดงความนับถือ

(ผู้ช่วยศาสตราจารย์อุษาวดี ตันติวรรณรักษ์)

คณบดีคณะวิทยาศาสตร์

สำนักงานคณบดี คณะวิทยาศาสตร์
โทรศัพท์ ๐-๓๘๗๑๐-๓๐๘๕๕
โทรสาร ๐-๓๘๗๑๐-๓๐๔๗

การประชุมวิชาการระดับชาติวิทยาศาสตร์วิจัย ครั้งที่ 6

THE 6th SCIENCE RESEARCH CONFERENCE



รายงานนักวิจัยในเนื้อหาจากการนำเสนอวิจัย

(Proceedings)

20-21 มีนาคม 2557

มหาวิทยาลัยบูรพา ชลบุรี



ผลของการทำลังสปัตเตอริ่งต่อโครงสร้างของฟิล์มบางไฟฟ้าเนียมอะลูминิเนียมในไตร์ด ที่เคลือบด้วยวิธีซีรีแอกทิฟฟ์โคสปัตเตอริ่ง

Effect of Sputtering Power on Structure of Titanium Aluminium Nitride Thin Film

Deposited by Reactive DC Co-Sputtering Method

พัชรี ภักดีเสนาณ^{1,2*}, พรมพิมล รัตนยุวภูมิ^{1,2}, สุรัsing ไชยคุณ^{1,2} และ นิรันดร์ วิทิตยานันต์^{1,2}

Pacharee Pakdeesabha^{1,2}, Pompimol Thunyaphum^{1,2}, Surasing Chaiyakun^{1,2} and Nirun Witit-anun^{1,2*}

¹สาขาวิชานิรภัยในการวิจัยเทคโนโลยีสัญญาณและพัฒนา ภาควิชาพัสดุ คณะวิทยาศาสตร์ มหาวิทยาลัยบูรพา

²ห้องปฏิบัติการวิจัยพลาสม่าสำนักวิทยาศาสตร์ที่นิรันดร์ ศูนย์ความเป็นเลิศค้นคว้าพัฒนา (TREP) บก. บก.

บทคัดย่อ

ฟิล์มบางไฟฟ้าเนียมอะลูминิเนียมในไตร์ด (TiAlN) ได้ถูกทำด้วยวิธีซีรีแอกทิฟฟ์โคสปัตเตอริ่งบนกระถางไอล์ฟและแผ่นซิลิโคน เพื่อศึกษาผลกระทบของทำลังสปัตเตอริ่งต่อไฟฟ้าเนียมอะลูминิเนียมที่โครงสร้างของฟิล์มที่เคลือบได้ โดยโครงสร้างฟิล์มสักยานะที่นิรันดร์ ศูนย์ความเป็นเลิศค้นคว้าพัฒนา ภาควิชาพัสดุ คณะวิทยาศาสตร์ มหาวิทยาลัยบูรพา ใช้เครื่องวัดขนาดของฟิล์มแบบ XRD, AFM และ EDX ตามลำดับ ผลการศึกษาพบว่า ขนาดของฟิล์มเปลี่ยนแปลงตามการทำลังสปัตเตอริ่ง ฟิล์มที่เคลือบได้แสดงโครงสร้างร่วนคลื่นของไฟฟ้าเนียมอะลูминิเนียมในไตร์ดที่ระบุ (200) โดยโครงสร้างของฟิล์มที่เคลือบได้เปลี่ยนไปตามการทำลังสปัตเตอริ่ง เมื่อทำลังสปัตเตอริ่งเพิ่มขึ้น พบว่า ขนาดของฟิล์มมีค่าลดลงจาก 33.46 nm เป็น 30.47 nm ค่าหนาแน่นเพิ่มขึ้นจาก 79 nm เป็น 226 nm ขณะที่ค่าความหนาแน่นค่าอยู่ในช่วง 1.3 – 2.7 nm โดยองค์ประกอบในฟิล์มเปลี่ยนค่าตามการทำลังสปัตเตอริ่ง

คำสำคัญ : ฟิล์มบาง / ไฟฟ้าเนียมอะลูминิเนียมในไตร์ด / สปัตเตอริ่ง / รีแอกทิฟโคสปัตเตอริ่ง

Abstract

Titanium aluminium nitride (TiAlN) thin films were deposited by reactive DC co-sputtering method on glass slide and silicon. The effect of titanium sputtering target power on the structure of the as-deposited film was investigated. The crystal structure, surface morphology, thickness and elemental composition were characterized by XRD, AFM and EDX, respectively. The results show that the film's color was varied with the sputtering power. The as-deposited films were composed of TiAlN with (200) planes. The structure of the as-deposited films were varied with the sputtering power, when the sputtering power increased. It was found that the crystal size decreased from 33.46 nm to 30.47 nm, the film's thickness increased from 79 nm to 226 nm, the roughness were in range of 1.3 – 2.7 nm, while the elemental composition of the as-deposited varied with the sputtering power.

Keywords: Thin films / titanium aluminium nitride / sputtering / reactive co-sputtering

*Corresponding author. E-mail: nirun@buu.ac.th



รายงานสืบเนื่องจากการประชุมวิชาการระดับชาติ "วิทยาศาสตร์ทิรัศย์" ครั้งที่ 6 วันที่ 20-21 มีนาคม 2557 มหาวิทยาลัยบูรพา

๑๖๘

ปัจจุบันการปรับปรุงพิมพ์ของวัสดุโดยการเคลือบตัวเข้าด้วยสารที่หนาแน่นในลักษณะพิเศษบาง (thin film) เพื่อใช้มีส่วนแบ่งครึ่งของการก่อสร้างให้รับความสนใจจากผู้ผลิตเครื่องและภาคอุตสาหกรรมทั่วโลก โดยเฉพาะอย่างยิ่งการเคลือบแข็ง (hard coating) ในอุตสาหกรรมหัตถกรรมซึ่งเป็นวิธีหนึ่งของการเคลือบตัวเข้าด้วยไนโตรเจนไนโตรเจน (Physical Vapor Deposition ; PVD) ที่นอกจากให้พิเศษคุณภาพสูงแล้วยังเป็นกระบวนการการเคลือบแบบอ่อน (environmental friendly) เท่านั้นใช้สารเคมีไม่ในกระบวนการการเคลือบ โดยขั้นตอนแรกจะใช้ในช่วงแรกคือ ให้หัวเผาไหม้ไฟฟ้า (PA) เมื่อจะมาถึงจุดเด่นหลักด้าน เช่น มีสีสันประกายหรือลักษณะเสียงที่แตกต่างจากหัวไฟฟ้าเดิม (Liu, Duh, Chung, & Wang, 2005; Su, Lin, Shiu, & Wu, 1993) มีความแข็งแรงประมาณ 20 GPa (Chu, Shum, & Shen, 2006) จึงนิยมนำมานำมาใช้เพื่อเคลือบที่มีอยู่ในปากกาหรือปากกาดินสอในภาคอุตสาหกรรม (Cunha, Andritschky, Rebouta, & Pischow, 1999)

ซึ่งอาจใช้กีฟิล์มบางไห้เที่ยมในโทรศัพท์มือถือจ้าก็คือเมื่อใช้งานที่อุณหภูมิสูงกิน 500°C พื้นผิวอาจเกิดการแตกหักแล้วหลุดร้าวได้ ความแข็งของพื้นผิวลดลง (Shum, Tam, Li, Zhou, & Shen, 2004) ทั้งนี้แนวทางหนึ่งในการแก้ปัญหาคือเดินทางด้วยมอร์เซาชูบาร์นิช เนื่องจากมีค่าความต้านทานไฟฟ้าสูงกว่าพื้นผิวเดิม (AI) ในโทรศัพท์มือถือจ้าก็คือเมื่อใช้งานที่อุณหภูมิสูงกิน 500°C จึงไม่สูญเสียไฟฟ้าได้มาก ทั้งนี้ก็ต้องคำนึงถึงความร้อน มีความเร็วสูงประมาณ 35 GPa (Mei, Shao, Wei, & Li, 2005) ทั้งนี้ยังสามารถใช้ในการกันรอยกีฟิล์มที่อุณหภูมิสูงได้ เช่น 800°C (Kim, Lee, & Hahn, 2005) ทำให้พื้นผิวไห้เที่ยมและอุณหภูมิสูงในโทรศัพท์ได้รับความทนทานอย่างมากกว่า

การหดเย็นพิเศษน้ำยาให้เกิดความดันของอุณหภูมิเพื่อในโทรศัพท์สามารถหดตัวได้เหลือครึ่ง เครื่องปฏิบัติเชิงรุกได้รับความสนใจมากที่สุดเพื่อป้องกันไม่ให้มีการยุคติดต่อสู่ชั้นหัวชี้ ซึ่งก็จะส่งผลกระทบกับความต้องการสร้างและออกแบบโทรศัพท์มือถือที่มีน้ำหนักเบาลง ที่สำคัญสามารถขยายเวลาการใช้งานของแบตเตอรี่ต่อไปได้เป็น 3 กลุ่ม คือ (1) กลุ่มให้เป้าหมายคือแบบเบลล์ล็อกอยด์ (alloy target) โดยจะสูญเสียเนื้อและชั้นหัวชี้โดยเปลี่ยนในอัตราต่อวันที่ต้องการแล้วรุนแรงเป็นไปได้เรื่อยๆ (Liu, Duh, Chung, & Wang, 2005) (2) กลุ่มให้เป้าหมายเพื่อแยกแบบมosaic target โดยตัดต่ออุณหภูมิเพื่อให้เข้ามาติดต่อในอัตราต่อวันที่ต้องการแล้วรุนแรงเป็นไปได้เรื่อยๆ (Mei, Shao, Wei, & Li, 2005) และ (3) การให้เป้าหมายแบบบลั่ว (co-target) หรือให้เป้าหมายเดียบอยู่ช่องไฟฟ้าเพื่อและชั้นหัวชี้โดยเปลี่ยนแบบมอโนกราฟิกอย่างรวดเร็วๆ (Wuhrer & Yeung, 2003) ทำให้สามารถลดปรับปรุงค่าตัวร้านชุมทางไฟฟ้าเพื่อและชั้นหัวชี้โดยเปลี่ยนในชั้นหัวชี้ได้มากขึ้น โดยการหดเย็นของชั้นหัวชี้ให้เกิดการหดตัวให้กับน้ำมันสำหรับเครื่องคอมพิวเตอร์

เดิมที่มาเป็นโครงสร้างและสมบัติของพิล็อกที่ได้จากการวิเคราะห์เชิงเคมีไม่ใช่ที่มากับเงินในการค่าเสื่อม เช่น ความดัน กำลังไฟฟ้า อัตราไฟเบอร์ส์ ฯลฯ ทั้งนี้มีการศึกษาเพิ่มเติมจากทางอุตสาหกรรมในภาคใต้เพื่อให้มีมาตรฐานทางคุณภาพในน้ำเส้นส่วนใหญ่ ห้องใช้เครื่องหมายไฟฟ้าสูง ซึ่งต้องให้ความร้อนและความถ่วงหลักไปพร้อมกับอัตราการเผาไหม้ (Ramana, Kumar, David, & Sajiv, 2004) รวมทั้งกำลังสปีดเพื่อเตรียมที่จะนำไปเป็นสารเคมีที่มีอัตราเผาไหม้โดยการต่อโครงสร้างและสมบัติของพิล็อกเป็นเชือกมากขึ้นด้วย (Wulfer & Yehui, 2004) ทำให้การศึกษาของเรานำเสนอการค่าเสื่อมที่มีต่อโครงสร้างและสมบัติของพิล็อกยังคงดำเนินต่อไป บทความเข้าใจฉบับนี้เป็นการรายงานงาน การศึกษาที่มีผลลัพธ์ทางเคมีและทางกายภาพที่สำคัญที่สุด ที่ได้รับการยอมรับในวงการวิจัยด้านพิล็อกของประเทศไทย บทความเข้าใจฉบับนี้เป็นการรายงานงาน การศึกษาที่มีผลลัพธ์ทางเคมีและทางกายภาพที่สำคัญที่สุด ที่ได้รับการยอมรับในวงการวิจัยด้านพิล็อกของประเทศไทย บทความเข้าใจฉบับนี้เป็นการรายงานงาน การศึกษาที่มีผลลัพธ์ทางเคมีและทางกายภาพที่สำคัญที่สุด ที่ได้รับการยอมรับในวงการวิจัยด้านพิล็อกของประเทศไทย

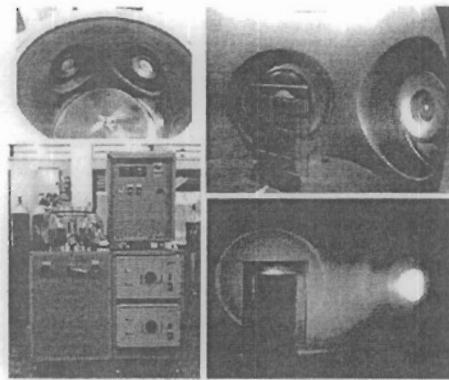
2007

พัฒนาไปให้เป็นผลิตภัณฑ์ใหม่ในครัวเรือนได้ เช่นเดียวกับชีวภาระของก็็อกท์ที่ใช้สเปคเดิมๆ จากเครื่องเดิมในสัญญาการ (ชุดที่ 1) ห้องเดือนทรงกระบอก ขนาดเส้นผ่านศูนย์กลาง 31.0 cm สูง 31.0 cm มีผ้าล้างเดี่ยวเส้นผ่านศูนย์กลาง 5.0 cm จำนวน 2 ชุด ได้แก่ โภเกี้ยนเมม (99.97%) และ อะโซนิเมม (99.9995%) สำหรับเก็บในกระบวนการการคีบอบได้เดิม แก๊สอาเซอร์กอน (99.999%) เป็นเกลือบบีบเคอร์ และ แก๊สไนโตรเจน (99.999%) เป็นแก๊สปฏิกิริยา การข่ายแก๊สผ่านเครื่องของควบคุมอัตโนมัติในส่วนของ MKS รุ่น type247D เครื่องสูบสูญญากาศ ปากกาถูกดัดแปลงเพื่อรองรับแบบไฟฟ้าและเครื่องซองกลไฟฟ้าเป็นเครื่องของหัวหอย ใช้แม่ควรดักความต้านทาน PFEIFFER รุ่น TPG262

รั้นต้องการเกลือเบิร์มานาบัวส์ชุกชักที่ได้แก่ กระบอกสูบ ขนาด 2.5x7.5 cm และ ชิลิกอน ขนาด $1.0 \times 1.0 \text{ cm}^2$ เนื้อร่องเคลือบเงาหัวท่อสูบ ความยาวประมาณ 10 cm ลดความดันในห้องศีบันให้ได้ความดันหน้าท่อ 5.0×10^{-4} mbar ปล่อยแก๊สรักษางaszine เคลื่อนที่ความเร็วคงที่ในหน่วยสูบแก๊สในหน่วยคิวบิกเซนติเมตรต่อนาที (Standard Cubic Centimeters per Minute; sccm) โดยกำหนดให้ตัวเลขในสูบแก๊สอย่างท่ากับ 16 sccm และเพิ่มลงในเรื่องท่ากับ 10 sccm ให้กำลังสเปคเตอริชิยงป์บาร์ซูมูนีเมม (Al) ลงตัวท่ากับ 65 W และเปรียบเทียบกับสูบเต็มของแก๊สไฮโดรเจนท่ากับ 100, 230 และ 360 W โดยฟื้นฟูและดูแลเครื่องขึ้นบาน 60 นาที (ตารางที่ 1)

SCIENCE
RESEARCH
CONFERENCE 6

รายงานสืบเนื่องจากการประชุมวิชาการระดับชาติ "วิทยาศาสตร์รัฐบุรี" ครั้งที่ 6 วันที่ 20-21 มีนาคม 2557 มหาวิทยาลัยบูรพา



รูปที่ 1 ลักษณะของเครื่องเคลือบและพลาสมายอนน้ำเคลือบ

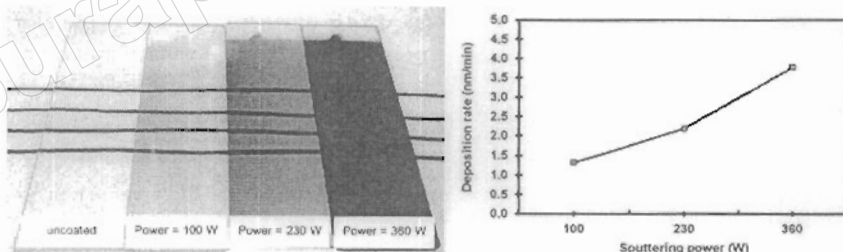
ตารางที่ 1 เมื่อนำใช้การเคลื่อน

ພາຮາມເມີເຕືອນ	ຮາຍະບະເຊີຍຕົກ
ວິທີກັນຄະດີບົນ	Reactive DC co-sputtering
ຮະໝາງຈາກປາສາກເລື່ອນ	10 cm
ວັດຖຽນວິນ	Si-wafer, glass slide
ຄຸນມົງວິນຂອງຮັບ	room temperature
ປາສາກເທື່ອນ	Ti (99.97%)
ກຳສັງຄູນເຫຼືອໃຈ້: Ti	Al (99.9995%)
ກຳສັງຄູນເຫຼືອໃຈ້: Al	100, 230, 360 W
ກວາມດັນນິນ	65 W
ຄວາມດັນນິນເຫັນ	5.0×10^{-5} mbar
ອົດຮາໄນ້ເສົາກົດນິນ	5.0×10^{-5} mbar
ອົດຮາໄນ້ເສົາກົດຈະນຸ່ມ	16 sccm
ວິທີກັນຄະດີບົນ	10 sccm
ວິທີກັນຄະດີບົນ	60 min

พิสัยที่ได้มาในปีก้าชาติของรังสีคือ ด้วยเครื่อง X-ray Diffractometer ของ Bruker รุ่น D8 ໂຄชั่น Cu-K α ($\lambda = 1.54056 \text{ \AA}$) ตรวจวัดแบบ 20-scan ด้วยมุมตกกระทบเฉียง (grazing Incident angle) หากัน 2° สเปกน 20 จาก 20° ถึง 80° ขนาด��粒 (crystal size) คำนวณจากรูปแบบการเพี้ยนของรังสีเออเรีย ศูนย์สมการของ Scherer ที่สามารถคำนวณขนาด晶粒ที่เกิดขึ้นได้โดยเครื่อง Energy Dispersive X-ray Spectroscopy รุ่น LEO 1450VP สำหรับศักยภาพที่เพิ่มขึ้น ความหมายและความหมายของรูปภาพที่เก็บโดย Atomic Force Microscope รุ่น Veeco Instruments Inc. รุ่น Nanoscope IV

3. ผู้ดูแลบ้านที่ปรึกษา

พืชเมืองทางตอนเหนือและตอนใต้ของประเทศไทยมีความต้องการไฟฟ้าสูงกว่าประเทศเพื่อนบ้านอย่างมาก ทำให้ต้องนำไฟฟ้าจากประเทศเพื่อนบ้านเข้ามาใช้ในประเทศไทย แต่ในอดีตประเทศไทยไม่สามารถผลิตไฟฟ้าได้เพียงพอ จึงต้องนำไฟฟ้าจากประเทศเพื่อนบ้านเข้ามาใช้ ทำให้เกิดปัญหาน้ำท่วมในประเทศไทย ทำให้ต้องหาทางออกโดยการสร้าง댐และอุโมงค์น้ำ แต่ก็ไม่สามารถแก้ไขปัญหาน้ำท่วมได้ทันท่วงที ทำให้ต้องหันมาใช้พลังงานทดแทน เช่น พลังงานแสงอาทิตย์ ลม และไอน้ำ เป็นต้น ที่จะช่วยลดภาระการนำเข้าไฟฟ้าจากประเทศเพื่อนบ้านและลดปัญหาน้ำท่วมลงได้



รูปที่ 2 สักษณะและสีของพืชไม้ใหญ่น้ำของอุบมิเนียมในไทรค์
ที่เก็บข้อมูลว่ากำลังสับปะรดหรือไม้

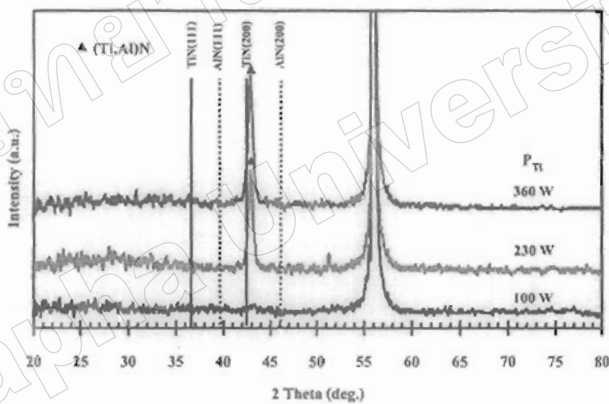
รูปที่ 3 ขั้นตอนของฟิล์มไทเกเนย์อะลูมิเนียมในไครท์ที่เคลือบด้วยกาวสีฟ้า

SCIENCE
RESEARCH
CONFERENCE 6th

รายงานผลเนื่องจากการประชุมวิชาการระดับชาติ "วิทยาศาสตร์รัฐ" ครั้งที่ 6 วันที่ 20-21 มีนาคม 2557 มหาวิทยาลัยบูรพา

สำหรับโครงสร้างผลิตภัณฑ์ที่เลือกให้ใช้ จากการวิเคราะห์น้ำท่วมพื้นที่ XRD ได้รูปแบบการถ่ายเมมนรังสีเอกซ์เรย์แสดงในรูปที่ 4 พบว่ารูปแบบการถ่ายเมมนรังสีเอกซ์เรย์ที่เลือกให้ได้มีเปลี่ยนไปตามการกำลังสเปคเตอริจที่ขึ้นได้แก่แกนปีก้าไวท์ที่มีกำลังสเปคเตอริจที่มากกว่าแกน 100 W ไม่เท่ากับรูปแบบการถ่ายเมมนรังสีเอกซ์เรย์ และแสดงให้เห็นว่าเมื่อได้ใช้กำลังสเปคเตอริจที่ต่ำที่สุดที่ได้มีโครงสร้างแบบผืนผ้านุ่ม เมื่อกำลังสเปคเตอริจเพิ่มขึ้นเป็น 230 W และ 380 W ปะจุกปูรูปแบบการถ่ายเมมนรังสีเอกซ์เรย์ที่มุม 42.38° และ 42.82° ความลาดชัน ร่องรอยบนบัวโครงสร้างของโครงสร้างที่ต้องการจะบันทึกภาพโดยกล้องดิจิทัลนิ่งมันในโทรศัพท์มือถือ (200) ทดสอบด้วยกับงานที่เขียนของ Park and Kim (2013) ซึ่งพบว่าเมื่อใช้กำลังสเปคเตอริจที่จำาบได้เป็นส่วนลดเสียงด้วยฟิล์มที่ได้มีทางโครงสร้างเป็นผืนผ้านุ่ม และเปลี่ยนไปเป็นโครงสร้างเป็นผืนผ้า ผืนผ้าที่มีกำลังสเปคเตอริจจะเป็นผ้าสามารถเคลื่อนตัวได้เนื่องจากโครงสร้างผลิตภัณฑ์ที่เลือกให้ได้สัมภาระที่เก็บผลงานของระบบสารคดีที่เพิ่มเติมความกำลังสเปคเตอริจของเป้าสารคดีเป็นต้นที่เพิ่มขึ้น ทำให้ได้ลดความสบายน้ำที่บัวสามารถมาหากินในการไฟฟ้าห้องน้ำเป็นตัวของพื้นที่ภายในห้องน้ำที่ติด

อย่างไรก็เดิมที่จะมาในทำนองของสูญเสียในโครงสร้างกลไกและลักษณะเป็นสารละลายของแข็ง (solid solution) การพัฒนาโดยคร่าวลังเล็กของพื้นที่นาให้เกิดเนื้อเยื่อบุนีนในโทรศัพท์ในการวิจัยนี้ได้ใช้การพัฒนาแบบปรับเปลี่ยนที่บุนีนและการเพิ่มน้ำหนักสีเออกซ์โซร์ชันให้เกิดเนื้อเยื่อบุนีนในโทรศัพท์พิเศษจากที่บุนีนในโทรศัพท์ที่เป็นพัฒนาหลังจากจราจรข้อมูล JCPOD เลขที่ 381420 มีค่าผลต่อที่บุนีน 4.241 A เพิ่มบุนีนแบบการเพิ่มน้ำหนักสีเออกซ์โซร์ชันพิเศษมาในทำนองของสูญเสียในโทรศัพท์ที่บุนีน (ภาพที่ 4) ที่บุนีนแบบการเพิ่มน้ำหนักสีเออกซ์โซร์ชันพิเศษที่บุนีนไปทางขวา ลักษณะที่ได้มีเพิ่มบุนีนแบบการเพิ่มน้ำหนักสีเออกซ์โซร์ชันให้เกิดเนื้อเยื่อบุนีนในโทรศัพท์ แสดงถึงการบุนีนในงานวิจัยของ Liu, Du, Chung, and Wang (2005) ซึ่งอธิบายว่าค่าและตัวชี้วัดของพิเศษบุนีนในโทรศัพท์ที่บุนีนให้มีขนาดเล็กกว่าค่าและตัวชี้วัดของพิเศษบุนีนในโทรศัพท์ เมื่อจะมาถูกดูดซึมโดยผู้คนเข้าไปในที่บุนีนจะคงอยู่ในโทรศัพท์ไม่หายไปในโทรศัพท์ที่บุนีนในโทรศัพท์ที่บุนีน ในโทรศัพท์ ทำให้ค่าค่าและตัวชี้วัดของพิเศษที่บุนีนได้ในงานวิจัยนี้มีความถูกต้องกว่าท่านศึกษาฐานของโทรศัพท์ที่บุนีนในโทรศัพท์ เป็นผลให้ค่าและตัวชี้วัดของรูปแบบการเพิ่มน้ำหนักสีเออกซ์โซร์ชันพิเศษที่บุนีนได้มีการลดลงในโทรศัพท์ที่บุนีน



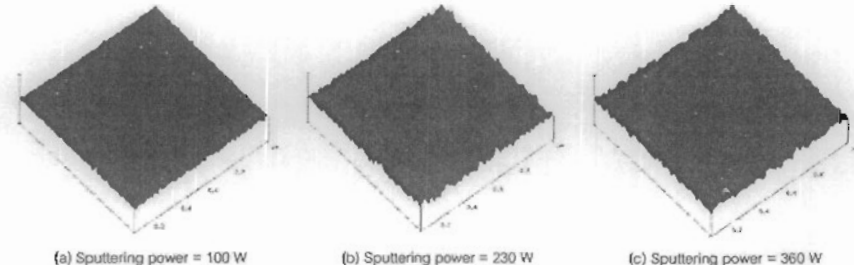
อุปที่ 4 ภัยแบบการเดินทางนั่งพิเล็กซ์ของพิล็อกไม้เทเกเนี่ยมจะดูนิ่มยิ่งไปกว่าเดิมที่สุด

ตารางที่ 2 ค่าผลพิธี ขนาดผลลัพธ์ ความหนาและความหนาแน่นของผลไม้เมืองในโครงการที่เกิดขึ้นตัวบวกเครื่องวัด

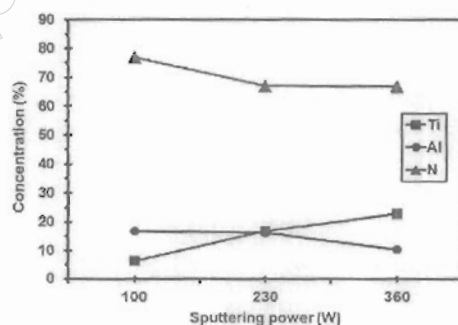
กำลังรั่วสีบล็อก (W)	กำลังติดตั้ง (Å)	ขนาดคริสติก (nm)	ความหนา (nm)	ความหมายานผิว (nm)
100	-	-	79	1.3
230	4.210	33.46	131	2.7
360	4.213	30.47	226	2.4



รายงานพื้นเนื่องจากการประชุมวิชาการระดับชาติ "วิทยาศาสตร์ไทย" ครั้งที่ 6 วันที่ 20-21 มีนาคม 2557 มหาวิทยาลัยบูรพา



จุดที่ 5 ลักษณะที่นิยมของพื้นที่ทางไปเที่ยวและอนุรักษ์ไม่ได้ต้องเป็นแหล่งท่องเที่ยวที่เดินทางวิ่งกระซิบเที่ยวต่างๆ มากเท่านั้น APM



รูปที่ 6 องค์ประกอบมาตรฐานของพิล็อกไม้เทาเนียบและลามิเนียบในไทรต์ที่เคลือบหัวด้ามสั่งสมบัต์โดยวิธีหัวๆ จากเทคนิค EDX



รายงานสืบเนื่องจากการประชุมวิชาการระดับชาติ "วิทยาศาสตร์รัฐ" ครั้งที่ 6 วันที่ 20-21 มีนาคม 2557 มหาวิทยาลัยบูรพา

4. ບາກຄູປ

พื้นเมืองไปแทนนิยมและอุดมในไทรต์ในงานวิจัยนี้ ถูกเครื่องดัดหัวใจรือและการทัฟซีโลสปีดเชิง บากะจะก่อให้และแย่งชิงคิลิโคน พื้นที่เดียวกันของชาติในเวลล์ส์แลนด์เป็นเนินสูงส่วนแล้วได้รับการส่วน ดังที่พัฒนาและคงกำลังปั๊บเตชเริ่มจากสีน้ำตาลล่อน มีน้ำตาลและน้ำตาลเข้ม โครงสร้างพื้นที่สักขณฑ์เพิ่ม ความหนาและองค์ประกอบของชาติที่พัฒนาให้แย่ลงตามกำลังปั๊บเตชของปั๊บเตชนี้ ทั้งนี้ เป็นได้จากการสักขณฑ์ที่ พื้นที่ไม่ได้โครงสร้างเป็นยอดสูง และบุบเบี้ยนเป็นผลิตภัณฑ์ที่กำลังปั๊บเตชไว้ลงบน ตรงกับไทรต์เนินและอุดมเป็น ในไทรต์ ระยะ (200) โดยมีค่าตัวที่แสดงตัวอยู่ในทาง 4.210 – 4.213 A ทั้งนี้เมื่อกำลังปั๊บเตชเริ่มเป็นรากศรีษะของเม็ดสารเคลื่อนไห้เนินเด่นชัด ขนาดผลลัพธ์ค่าตัวลดลงจาก 33.46 nm เป็น 30.47 nm ความหนาเพิ่มขึ้นจาก 79 nm เป็น 226 nm ความหมายคือมีค่าในช่วง 1.3 – 2.7 nm สำหรับองค์ประกอบของชาติที่พัฒนาไปไทรต์เนิน ที่เป็นไปได้ที่จะได้รับการสักขณฑ์ที่ดีกว่าในไทรต์เนิน (T) อะดิโนเจน (A) และในไทรต์ชน (N) เป็นองค์ประกอบในสีส่วนต่างๆ ที่เก็บค่ากำลังปั๊บเตชเริ่มเป็นรากศรีษะของปั๊บเตช

๕. บริการชุมชนประจำปี

6. เอกสารข้างต้น

- Chu, K., Shum, P.W. and Shen, Y.G. (2006). Substrate bias effects on mechanical and tribological properties of substitutional solid solution (Ti, Al)N films prepared by reactive magnetron sputtering. *Materials Science & Engineering B*, 131, 62-71.

Cunha, L., Andritschky, M., Rebouta, L. and Pischow, K. (1999). Corrosion of CrN and TiAlN coatings in chloride-containing atmospheres. *Surface and Coatings Technology*, 116-119, 1152-1160.

Mei, F., Shao, N., Wei, L. and Li, G. (2005). Effect of N₂ partial pressure on the microstructure and mechanical properties of reactively sputtered TiAlN coatings. *Materials Letters*, 59, 2210-2213.

Kim, G., Lee, S. and Hahn, J. (2005). Properties of TiAlN coating synthesized by closed-field unbalanced magnetron sputtering. *Surface and Coatings Technology*, 193, 213-218.

Liu, G.T., Cui, J.G., Chung, K.H. and Wang, J.H. (2005). Mechanical characteristics and corrosion behavior of (TiAl)N coatings on dental alloys. *Surface and Coatings Technology*, 200, 2100-2105.

Park, M.H. and Kim, S.H. (2013). Temperature coefficient of resistivity of TiAlN films deposited by radio frequency magnetron sputtering. *Transactions of Nonferrous Metals Society of China*, 23, 433-438.

Ramana, J.V., Kumar, S., David, C. and Saju, V.S. (2004). Structure, composition and microhardness of (Ti,Al)N and (Ti,Al)N coatings prepared by DC magnetron sputtering. *Materials Letters*, 58, 2553-2558.

Shum, P.W., Tam, W.C., Li, K.Y., Zhou, Z.F. and Shen, Y.G. (2004). Mechanical and tribological properties of titanium-aluminium-nitride films deposited by reactive close-field unbalance magnetron sputtering. *Wear*, 257, 1030-1040.

Su, Y.L., Lin, J.S., Shieh, L.I. and Wu, J.D. (1993). A tribological investigation of physical vapour deposition TiN coatings paired with surface treated steels for machine element applications. *Wear*, 167, 73-83.

Wuhrer, R. and Yeung, W.Y. (2003). Effect of target-substrate working distance on magnetron sputter deposition of nanostructured titanium aluminium nitride coatings. *Scripta Materialia*, 49, 199-205.

Wuhrer, R. and Yeung, W.Y. (2004). Grain refinement with increasing magnetron discharge power in sputtering deposition of nanostructured titanium aluminium nitride coatings. *Scripta Materialia*, 50, 813-818.